

## 仪器设备

# Z-80 单板微处理机在毫微秒脉冲荧光计中的应用

阮康成 江寿平

(中国科学院上海生物化学研究所)

我所研制成功的 BIAS-100 型毫微秒脉冲荧光计<sup>[1]</sup>是用时间极短( $10^{-9}$ 秒),重复频率较高的(20,000 次/秒)光脉冲<sup>[2]</sup>激发荧光物质,产生的荧光经光电倍增管转换成相应的电信号,利用取样示波器作信号平均器<sup>[3]</sup>,将此快速信号转变为一缓慢变化的信号显示在荧光屏上,或用 X-Y 记录仪记录下来。由于激励光脉冲本身有一定的衰减,仪器检测系统亦有一定的响应时间,因此测得的荧光衰减曲线是激励光脉冲,仪器响应及样品荧光衰减的总和,可用下式表示:

$$F(t) = \int_0^t f(\tau) I(t - \tau) d\tau \quad (1)$$

式中,  $f(t)$  是样品的荧光衰减函数;  $I(t)$  是仪器的响应函数包括检测系统的时间响应和激励光脉冲的衰减,可通过测定激励光脉冲获得。 $F(t)$  是和  $f(t)$  相对应的由仪器测得的荧光衰减(可称为表观荧光衰减函数)。欲求样品的荧光寿命必须由(1)式求出  $f(t)$ 。在  $f(t)$  为单指数函数时,利用‘矩方法’,并将  $F(t), I(t)$  均近似成指数函数处理,通过解(1)式可得样品的荧光寿命  $\tau$  为<sup>[5]</sup>:

$$\tau^2 = \tau_p^2 - \tau_i^2 \quad (2)$$

式中  $\tau_p$  为表观荧光强度从最大值  $F_0$  衰减到  $F_0/e$  时所需的时间;  $\tau_i$  是激励光脉冲由最大值  $I_0$  衰减到  $I_0/e$  时所需的时间。

过去用人工计算荧光寿命,费时且误差大,最近,我们将 Z-80 单板微处理机应用到 BIAS-100 毫微秒脉冲荧光计上,取得了较好的结果,我们用国产 V/F 转换器配合少量硬件和软件

制成 A/D 转换器及其接口,具有成本低、使用方便等特点;数据处理结果用 VOESA 1871 计算器上的小打印机打印输出。

### 一、A/D 转换器及其接口

其原理如图 1 示。V/F 转换器将 BIAS-100 毫微秒脉冲荧光计输出的电压信号转变为相应

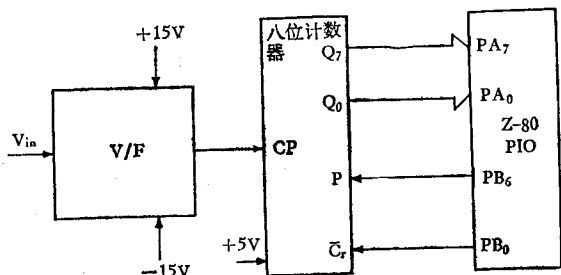


图 1 A/D 转换器及其接口

的频率,送到计数器(8 位),通过 Z-80 PIO 的  $PB_6$  送出高电平信号控制计数器的计数时间来采集数据。计数时间为 40ms,一俟计数时间结束,软件立即通过  $PB_6$  输出一低电平信号,使计数器输出保持计数结束时的状态,在此期间,软件通过 CPU 由 PIO 的 A 口将计数器上的数据送到相应的内存单元,这样就完成一次数据采集。此后软件通过  $PB_0$  向计数器发出清“0”信号(低电平),然后  $PB_6$  再次发出计数信号,开始下一次计数……,直至达到预置的数据次数为止。控制 A/D 转换器及其接口的程序框图、时序图,见图 2 与图 3。

A/D 转换器中的 V/F 转换器是一种定电荷复原型、混装式的电压—频率转换器,为了保证

在毫微秒脉冲荧光计输出信号最大时，在40ms的数据采集时间内数据的字长不超过一个字节，我们选用 DL8103 V/F 转换器，其最大输入电压为 10V，对应的频率为 10KC。这样制成的 A/D 转换器结构简单、使用硬件少、控制方便，整个成本还不到 200 元（连同 PIO），在转换精度上相对误差小于 0.2%。

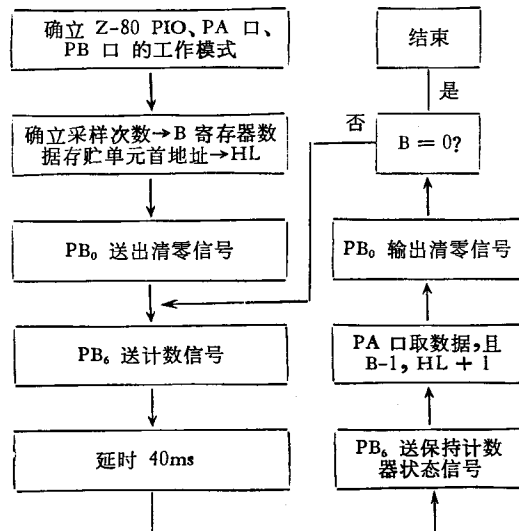


图 2 A/D 转换器及其接口的控制程序框图

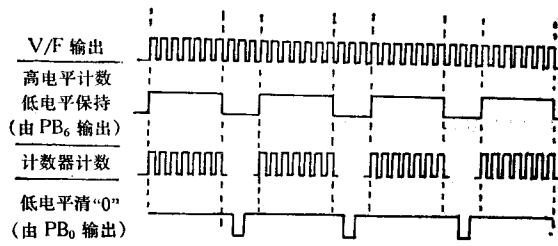


图 3 A/D 及接口的时序示意图

## 二、数据处理结果的打印输出

将 VOESA-1871 计算器和 Z-80 单板微处理器的 PIO 相接，利用该计算器中的小打印机打印结果。小打印机是由一系列脉宽不同的脉冲控制动作的，而单板微处理器通过软件可得到各种脉冲，因此，将它们直接相连，无须添加任何器件就可直接得到数据处理的结果并记录下来。图 4 是小打印机和 Z-80 单板微处理器接线图。

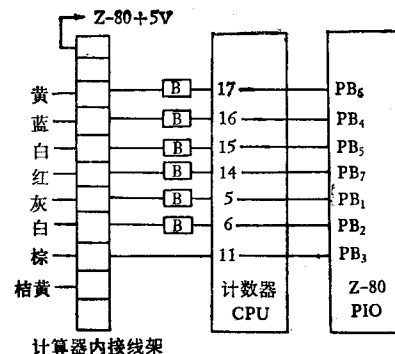


图 4 微处理器和打印机的联接

——缓冲器

控制打印机的打印程序系上海计算机厂周兴国同志提供，其框图如图 5。其中 DE 寄存器值为打印数据的内存地址，FF 为须回车时

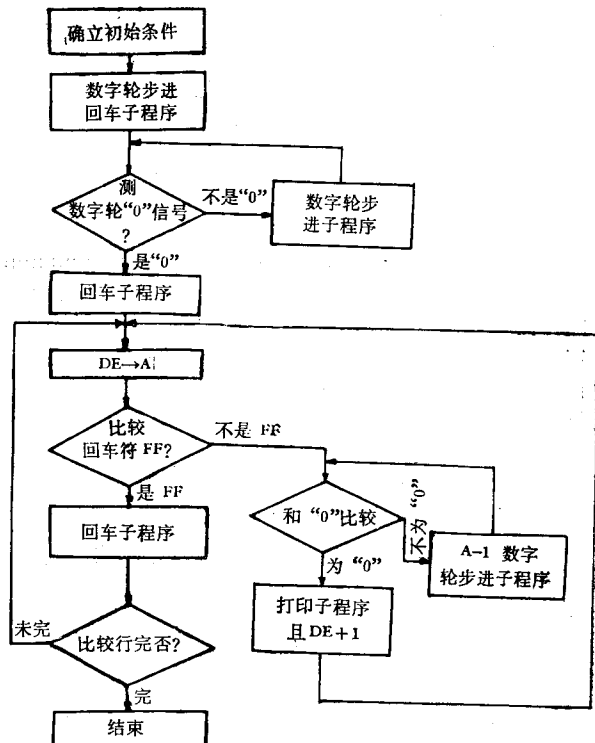


图 5 打印机控制程序框图

回车符 FF(H) 是我们自定的，不是通常的 CR

设置的数。由于打印出来的数是十进制的，而内存单元里都是二进制数，因此打印前须将二进制变为二十进制，且一个数的个、十、百……

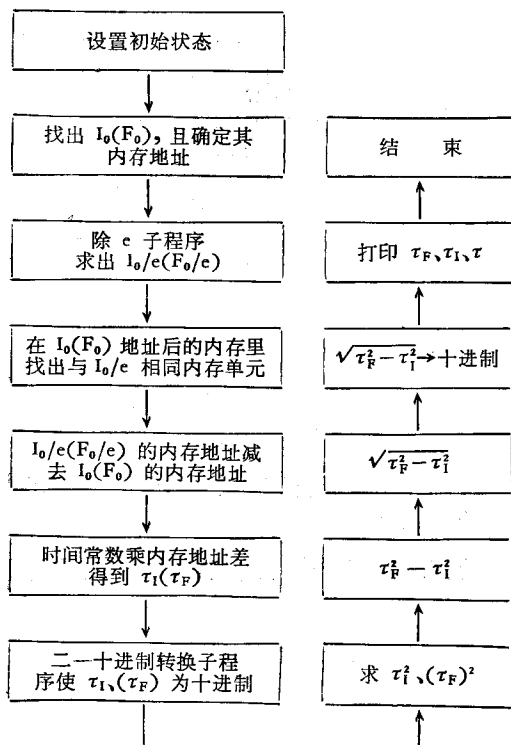


图 6 数据处理程序框图

等位的值应独立送进各个内存单元，一个单元的内容只能打一个字符。

### 三、数据处理程序

采用“矩方法”将求荧光寿命  $\tau$  简化成式(2)的形式，数据处理的程序设计就比较简单了。(图 6) 其中  $I_0$  指测激励光脉冲时得到最大值， $F_0$  指测样品荧光衰减时最大值，时间常数用已知荧光寿命的样品校正获得，测激励光脉冲和荧光样品时采集的数据各自放在二组内存中。最后，数据处理结果打印输出，第一行为激励光脉冲的  $\tau_i$  值，第二行是  $\tau_F$ ，第三行是荧光寿命  $\tau$ 。

### 参考文献

- [1] 阮康成、江寿平等，《生物化学与生物物理学报》，1982年，第5期，71页。
- [2] 阮康成、江寿平等，《生物化学与生物物理进展》，1982年，第1期，73页。
- [3] H. Riipile, et al.: *Methods in Enzymology*, 1969, 16, 317.
- [4] Yguerabide, J.: *Methods in Enzymology*, 26. parte, 498, 1972.
- [5] Birks, J. B.: *Progress in Reaction, Kinetics*, 1967, 4, 75.

[本文于1982年7月7日收到]

(上接第80页)

的全部特征，包括可从胞质移入核内。

近年来由于研究技术的更新，基因表达中甾体激素调节作用的研究已取得重大进展。现在首先是需要澄清不同实验技术引起的分歧，其次是如何把以下矛盾事实统一起来：基因组内可被甾体激素受体识别的DNA段落为数不多，而保持激素全面反应需要核内有数量很多的受体分子。Mulvihill的实验中，在14kbp的已知可被孕酮激活的基因序列中，只测出42个段落含孕酮-受体复合物特异识别的19bp同源序列。这个数字很难说明通常在每个细胞核内发现的成千上万个受体结合位置的事实。这里值得指出的是，Mulvihill的观察中，注意到孕酮-受体复合物与靶基因5'上游DNA序列相互作用的相对强度只不过10—40倍于非特异的小牛胸腺DNA或珠蛋白基因DNA。这或许

意味着大量其它结合位置并不在DNA上，而是位于核内其它组份，如染色体蛋白质，RNP颗粒或核基质上，甚至还可能有非核部位的结合位置也发生了结构或构象变化。以保证实现激素诱发的全部转录活力。

甾体激素对基因活动的调节机理要形成一个统一的概念，还有许多工作要做，从展望的角度考虑，像前文中提及的向含糖皮素受体的活细胞引进外来的MMTV病毒序列，及用光亲合标记法使蜕皮素在果蝇细胞内与受体结合，并在染色体上定位这样的体内功能实验是有待进一步开拓的重要研究手段。另外，开展向不含受体的细胞引进受体分子以及进行受体基因的遗传工程研究，以进一步探讨甾体激素受体复合物与DNA及其他细胞组分的相互作用必将能为理解真核基因表达的调控机理提供重要的情报。

[Nature, 298, 707, 1982. 情]